



ارائه یک تابع اشتراکی گشتاور نوین بر پایه ی توابع خطی بهینه به منظور کاهش ریپل گشتاوردر روتور سوئیچ رلوکتانس توسط الگوریتم PSO

سینا بارباز اصفهانی^۱، میلاد دولتشاهی^۲

* نویسنده مسئول: dolatshahi@iaukhsh.ac.ir

چکیده

واژه‌های کلیدی

روتور سوئیچ رلوکتانس، ریپل گشتاور، تابع اشتراکی گشتاور، PSO، SRM

ساختر گسسته‌ی تولید گشتاور در روتور SR موجب ظهور نوسان شدید گشتاور و نویز شدید صوتی می‌گردد که این عیب بارز در روتور SR موجب شده تا این روتور در صنعت نادیده گرفته شود. در حالی که راندمان تبدیل انرژی در این ماشین در گستره وسیع از سرعت بالاتر از روتورهای القابی متداول استفاده شده در صنایع می‌باشد. تابع اشتراکی گشتاور متداول مانند فرم خطی آن دارای سادگی در پیاده سازی و محدودیت در محدوده عملکرد سرعت می‌باشد. در این مقاله با تقسیم تابع اشتراکی گشتاور خطی به دو شب و تعیین مقدار بهینه این شب‌ها توسط الگوریتم PSO نوسان گشتاور روتور به طور محسوسی کاهش خواهد یافت. همچنین با استفاده از این تابع اشتراکی پیشنهادی می‌توان با افزایش بازده و حفظ انرژی محدوده عملکردی سرعت روتور را افزایش داد.

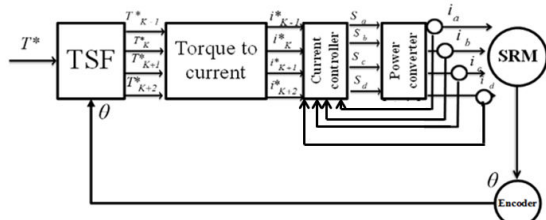
۱. دانشجوی کارشناسی ارشد، دانشکده فنی و مهندسی، دانشگاه آزاد اسلامی خمینی شهر

۲. استادیار، دانشکده فنی و مهندسی، دانشگاه آزاد اسلامی خمینی شهر

موتور با هدف کاهش ریپل روش‌هایی در [۳] و [۴] ارائه گردیده که تضمین کننده افزایش بازده و کاهش تلفات در این ناحیه می‌باشد. در [۴] بیان شده که بهینه‌سازی پروفیل جریان فاز می‌توان به نسبت گشتاور بر جریان فاز بالاتری دست یافت.

۲- توابع اشتراکی گشتاور

یکی از روش‌هایی که برای کنترل و کاهش ریپل گشتاور در SRM می‌توان به کار برد روش کنترل با توابع اشتراکی گشتاور می‌باشد. تابع اشتراکی گشتاور (TSF) بیان می‌کند که مقدار گشتاور تولیدی هر فاز در ناحیه کمتواسیونی چنان تعیین شود که جمع گشتاور تولیدی در این ناحیه برابر با مقدار مطلوب گردد. جانمایی TSF در سیستم درایو SRM در شکل (۱) مشهود می‌باشد.



شکل ۱- سیستم درایو موتور SRM و جانمایی TSF در این سیستم

بخش اصلی کنترل گشتاور در این سیستم تابع اشتراکی گشتاور می‌باشد. TSF تابعی از زوایای خاموشی و روشنی و میزان گشتاور مطلوب می‌باشد. یک TSF به ازای مقادیر مختلف از زوایای موتور دارای مقادیر متفاوت می‌باشد. این توابع در جایی کاربرد دارند که گشتاور تولیدی فازها مشتبه باشند.

۱- مقدمه

از دلایل اصلی وجود ریپل گشتاور در SRM منحنی مشخصه مغناطیسی غیر خطی و تولید گسسته‌ی گشتاور می‌باشد. در موتورهای الکتریکی متداول و پر کاربرد نظریه موتورهای DC و آسنکرون که با اتصال مستقیم به منبع تغذیه می‌توان در حالت ماندگار ریپلی بدون نوسان دریافت کرد اما در SRM بدون کنترل گشتاور امکان استفاده از این موتور بهعلت نوسان شدید در شافت موتور وجود ندارد. لذا استفاده از سیستم کنترل درایو در این موتور ضروری می‌نماید. روش‌های کنترل و کاهش ریپل در SRM به سه دسته اصلی تقسیم می‌شوند که گروه اول مربوط به روش‌های کنترل زوایای خاموشی و روشنی فازها، گروه دوم مربوط به کنترل جریان اعمالی به هر فاز موتور و گروه سوم مبتنی بر روش‌های ابتکاری و یا کنترل‌های پیشرفته می‌باشد. کاهش ریپل با استفاده از توابع اشتراکی خطی گشتاور متداول یکی از روش‌های کارآمد در این زمینه می‌باشد که در دسته‌ی سوم روش‌های کنترل گشتاور قرار می‌گیرد. تابع اشتراکی گشتاور معمول و متداولی که مورد استفاده قرار می‌گیرند عبارتند از توابع اشتراکی گشتاور خطی- مکعبی و کسینوسی.

در مرجع [۱] یک روش اصلاحی پیشنهاد شده است که در این روش خطای گشتاور فاز به فاز بعدی اضافه می‌گردد. این کار موجب توسعه‌ی ناحیه‌ی بدون ریپل گشتاور می‌شود.

در مرجع [۲] دو تابع اشتراکی گشتاور بهبود یافته به منظور کاهش ریپل گشتاور ارائه شده است. جهت بهبود طراحی

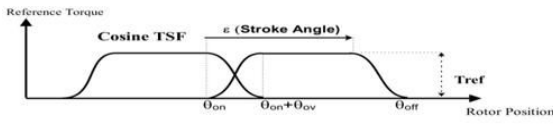
ارائه یک تابع اشتراکی گشتاور نوین بر پایه‌ی توابع خطی بهینه به منظور کاهش ریپل گشتاور در موتور سوئیچ رلوکتانس توسعه الگوریتم PSO

$$\begin{cases} \frac{3}{\theta_{ov}^2}(\theta - \theta_{on})^2 - \frac{2}{\theta_{ov}^3}(\theta - \theta_{on})^3 & \theta_{on} \leq \theta \leq \theta_{on} + \theta_{ov} \\ 1 & \theta_{on} + \theta_{ov} \leq \theta \leq \theta_{off} - \theta_{ov} \\ 1 - \frac{3}{\theta_{ov}^2}(\theta - \theta_{off} + \theta_{ov})^2 + & \\ \frac{2}{\theta_{ov}^3}(\theta - \theta_{off} + \theta_{ov})^3 & \theta_{off} - \theta_{ov} \leq \theta \leq \theta_{off} \end{cases}$$

۳- توابع اشتراکی گشتاور متدال

یکی از توابع اشتراکی گشتاور و پرکابرد و متعارف TSF خطی باشد.

تابع اشتراکی گشتاور کسینوسی به صورت رابطه‌ی (۳) تعریف می‌شود. با استفاده از این تابع در ناحیه کموتاسیونی گشتاور تولیدی فازها به صورت کسینوسی تغییرمی‌کند. شکل آن در نمودار شکل (۴) قابل مشاهده است.



شکل ۲- تابع اشتراکی گشتاور خطی

شکل نموداری آن به صورت شکل ۲ می‌باشد

رابطه‌ی این تابع به صورت رابطه (۱) می‌باشد [۱].

شکل ۴- تابع اشتراکی گشتاور کسینوسی

۴- الگوریتم بهینه سازی انبوه ذرات (PSO)

این الگوریتم اولین بار توسط آقایان ابرهارت و کندي مطرح شد. PSO یک الگوریتم جستجو مبتنی بر جمعیت می‌باشد که رفتار ذرات هجومی نظری پرندگان و ماهی‌ها را به صورت ریاضی مدل می‌کند. این الگوریتم با ایجاد یک جمعیت اولیه تصادفی شروع به کار می‌کند و پس از آن هر ذره با توجه به بهترین موقعیت شخصی و گروهی به دنبال جواب و یا مکان بهینه می‌گردد. این رفتار برای حرکت به سمت بهترین جواب از طریق روابط (۴) و (۵) انجام می‌گیرد.

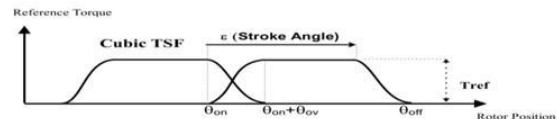
$$v_j^i[t+1] = w v_j^i[t] + c_1 r_1 (x_j^{i,best}[t] - x_j^i[t]) + c_2 r_2 (x_j^{gbest}[t] - x_j^i[t]) \quad (4)$$

$$x_j^i[t+1] = x_j^i[t] + v_j^i[t+1] \quad (5)$$

$$T_{ph}^* = T_{ref} \cdot f_{Linear} \quad (1)$$

$$f_{linear} = \begin{cases} \frac{(\theta - \theta_{on})}{\theta_{ov}} & \theta_{on} \leq \theta \leq \theta_{on} + \theta_{ov} \\ 1 & \theta_{on} + \theta_{ov} \leq \theta \leq \theta_{off} - \theta_{ov} \\ \frac{(\theta_{off} - \theta)}{\theta_{ov}} & \theta_{off} - \theta_{ov} \leq \theta \leq \theta_{off} \end{cases}$$

TSF خطی به این مفهوم است که تولید گشتاور در فازهای واردشونده و خارج‌شونده در ناحیه کموتاسیونی به صورت خطی تغییر کند. دیگر تابع اشتراکی گشتاور از نوع Cubic می‌باشد. شکل این تابع به صورت شکل می‌باشد و رابطه آن به صورت رابطه (۲) می‌باشد.



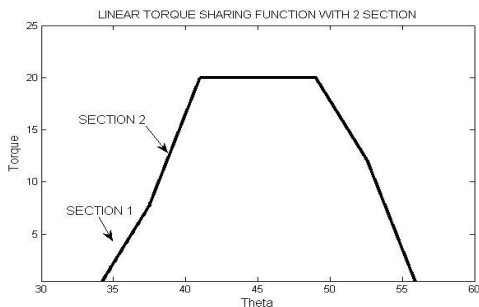
شکل ۳- تابع اشتراکی گشتاور

$$T_{ph}^* = T_{ref} \cdot f_{cubic} \quad (2)$$

ارائه یک تابع اشتراکی گشتاور نوین بر پایه‌ی توابع خطی بهینه به منظور کاهش ریپل گشتاور در موتور سوئیچ رلوکتانس توسعه الگوریتم PSO

$$\left\{ \begin{array}{ll} T_{rise_1} = T_{ref} \times T_{TSF_1} & \theta_{on} \leq \theta \leq \theta_{on} + \frac{\theta_{ov}}{2} \\ T_{rise_2} = T_{ref} \times T_{TSF_2} & \theta_{on} + \frac{\theta_{ov}}{2} \leq \theta \leq \theta_{on} + \theta_{ov} \\ T = T_{ref} & \theta_{on} + \theta_{ov} \leq \theta \leq \theta_{off} - \theta_{ov} \\ T_{fall_1} = T_{ref} \times (1 - T_{TSF_1}) & \theta_{off} - \theta_{ov} \leq \theta \leq \theta_{off} - \frac{\theta_{ov}}{2} \\ T_{fall_2} = T_{ref} \times (1 - T_{TSF_2}) & \theta_{off} - \frac{\theta_{ov}}{2} \leq \theta \leq \theta_{off} \end{array} \right.$$

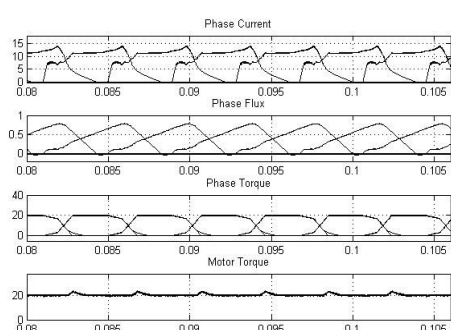
با استفاده از این تابع مقادیر و قله‌ی ایجاد شده در نمودار گشتاور خروجی موتور تا حدودی دمپ خواهد شد و اصطلاحاً ریپل گشتاور کاهش خواهد یافت. شکل (۵) نمودار ترسیمی این تابع به ازای زوایای مختلف موتور را نشان می‌دهد.



شکل ۵-تابع اشتراکی گشتاور دو شیب

۶-نتایج شبیه سازی

الف-نتایج شبیه سازی کنترل گشتاور با تابع اشتراکی خطی گشتاور دو شیب



الف

۵-تابع اشتراکی گشتاور خطی پیشنهادی

با توجه به اینکه شب اندوکتانس در حدود زوایای غیر هم محوری کم می‌باشد امکان گشتاورسازی در حدود این ناحیه کم می‌باشد. لذا می‌تواند در نواحی کمotaسیونی با تقسیم تابع اشتراکی گشتاور به دو شبیب مختلف انعطاف‌پذیری این تابع را افزایش داد. این کار منجر به انطباق پذیری بیشتر گشتاور فاز مرجع با گشتاور واقعی فاز موتور می‌شود. شبیه سازندهای تابع اشتراکی گشتاور خطی پیشنهادی توسط الگوریتم PSO تعیین می‌گردد. تابع هدفی که الگوریتم PSO وظیفه کمینه سازی آن به جهت تعیین شبیه سازی تابع اشتراکی گشتاور بر عهده دارد، تابع فاکتور ریپل گشتاور می‌باشد که در رابطه‌ی (۶) آورده شده است

$$\%TRF = \frac{T_{max} - T_{min}}{T_{avg}} \times 100 \quad (6)$$

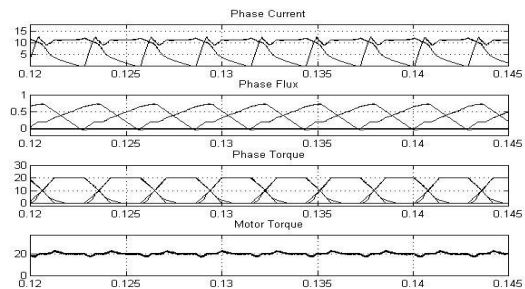
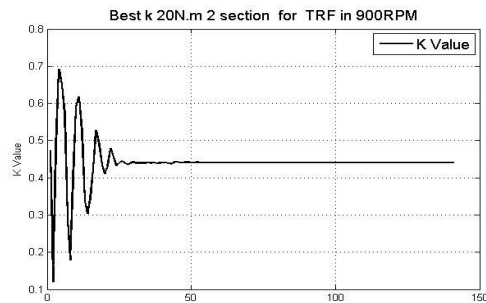
الف-تابع اشتراکی خطی گشتاور دو شبیب

در نواحی کمotaسیونی بین دو فاز واردشونده و خارج شونده با تقسیم TSF خطی به دو شبیب، تابع اشتراکی خطی گشتاور دو شبیب تشکیل می‌شود. رابطه تابع مذکور به صورت رابطه (۷) می‌باشد.

$$T_{TSF_1} = \frac{2K}{\theta_{ov}} \quad (7)$$

$$T_{TSF_2} = k + \left(\frac{2(1-k)}{\theta_{ov}} \right) (\theta - \theta_{on} - \frac{\theta_{ov}}{2})$$

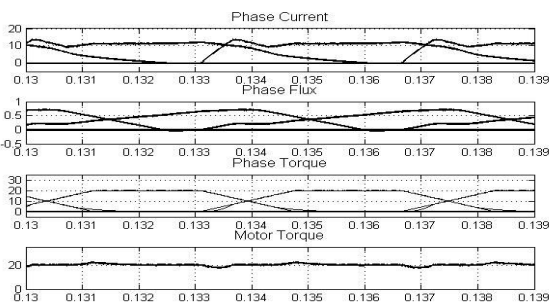
ارائه یک تابع اشتراکی گشتاور نوین بر پایهٔ توابع خطی بهینه به منظور کاهش ریپل گشتاور در موتور سوئیچ رلوکتانس توسط الگوریتم PSO



شکل ۶-نمودار تغییرات بهترین جواب (مقدار K) در هر تکرار الگوریتم PSO برای تابع هدف فاکتور ریپل گشتاور برای TSF با دو شیب در سرعت ۹۰۰ دور بر دقیقه

شکل (۶) نمایشگر روند جستجوی ذرات با هدف فرار گیری در بهترین مکان می‌باشد. در شکل بهترین مکانی که یک ذره در بین همهٔ ذرات در تکرار n ام توانسته است که پیدا کند نمایش داده می‌شود. مشاهده می‌شود که در حدود تکرار ۴۰ ام به بعد در همهٔ تکرارها مکانی که بهترین ذره در بین همهٔ ذرات توانسته است که در آن قرار گیرد یکسان می‌باشد و این بدین معناست که الگوریتم در حدود تکرار ۴۰ ام به همگرایی رسیده است.

ب- نتایج شبیه سازی کنترل گشتاور با تابع اشتراکی خطی گشتاور متداول

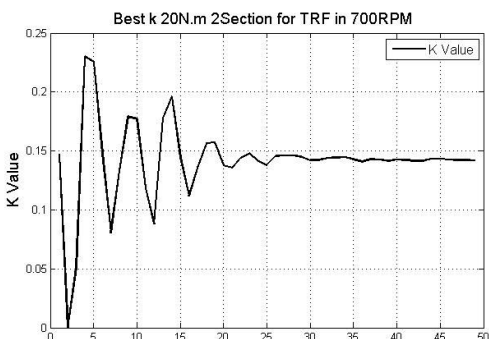


الف

ب

شکل ۷-نمایش شار، جریان، گشتاور فاز و گشتاور موتور با استفاده از تابع اشتراکی گشتاور خطی دو شیب الف ۶۰۰ دور بر دقیقه (b) ۹۰۰ دور بر دقیقه

شکل ۷ نشان می‌دهد که با افزایش سرعت میزان نیروی ضد محركه (BEMF) که تابعی از سرعت می‌باشد افزایش می‌یابد و این افزایش موجب انحراف گشتاور واقعی موتور از میزان مرجع می‌گردد که این انحراف نیز خود باعث ظهور ریپل در گشتاور در خروجی موتور می‌شود.



شکل ۸-نمودار تغییرات بهترین جواب (مقدار K) در هر تکرار الگوریتم PSO برای تابع هدف فاکتور ریپل گشتاور برای TSF با دو شیب در سرعت ۷۰۰ دور بر دقیقه

شکل (۸) نمایشگر بهینه ترین مقداری است که الگوریتم توانسته است در بین همهٔ ذرات در هر تکرار پیدا کند. در واقع این نمودار مقدار ذره‌ای که توانسته در تکرار n ام کمترین مقدار را برای تابع هدف ایجاد کند را نمایش می‌دهد. در این نمودار مشاهده می‌شود که در نهایت بهترین مکانی یکی از ۱۶ ذره در آن قرار گرفته در حدود ۰.۱۶۱ می‌باشد.

ارائه یک تابع اشتراکی گشتاور نوین بر پایه‌ی توابع خطی بهینه به منظور کاهش ریپل گشتاور در موتور سوئیچ رلوکتانس توسعه الگوریتم PSO

دور بر دقيقه افزایش می‌يابد و در سرعتهای بالاتر موتور

دچار ناپایداری می‌گردد.

جدول ۲- مقادیر زوایای خاموشی و روشنی و درصد فاکتور

ریپل گشتاور موتور SR در سرعت‌های مختلف برای تابع

اشتراکی گشتاور دو شیب بهینه شده با الگوریتم PSO

| | θ_{on} (Degree) | θ_{off} (Degree) | ω (RPM) |
|------|------------------------|-------------------------|----------------|
| 7.5 | 34 | 56 | 300 |
| 15.2 | 34 | 56 | 500 |
| 19.5 | 34 | 56 | 700 |
| 27.5 | 34 | 56 | 900 |
| 34.3 | 34 | 56 | 1100 |
| 58.9 | 34 | 56 | 1300 |

در رابطه‌ی ولتاژی موتور SR جمله‌ای وجود دارد که با

نام نیروی ضد محرکه شناخته می‌شود. این رابطه تابعی از

سرعت موتور می‌باشد که هر چه با افزایش و کاهش

سرعت موتور این جمله نیز تغییر خواهد کرد. لذا همانطور

که در جدول (۱) مشاهده می‌شود با افزایش سرعت روتور

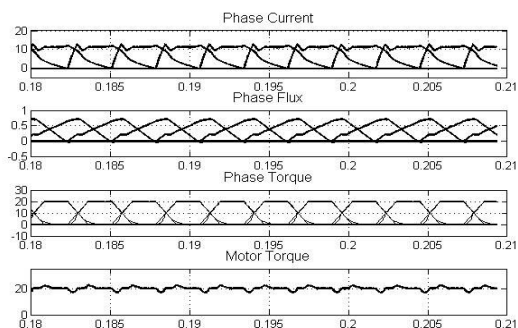
ریپل گشتاور نیز افزایش می‌یابد. در جدول (۲) مشاهده می-

شود که استفاده از این تابع اشتراکی گشتاور نوین برای

کنترل ریپل گشتاور در موتور SR موجب کاهش ریپل

گشتاور شده و محدوده سرعت عملیاتی موتور از ۹۰۰ دور

بر دقيقه به ۱۳۰۰ دور بر دقيقه افزایش می‌یابد.



ب

شکل ۷- نمایش شار، جریان، گشتاور فاز و گشتاور موتور با استفاده از تابع اشتراکی گشتاور خطی متداول ۱۰۰ دور بر دقيقه (ب) ۹۰۰ دور بر دقيقه (ب)

ج- مقایسه آماری رفتار موتور SR در حالت کنترل با دو تابع اشتراکی گشتاور خطی متداول و پیشنهادی

جدول ۱- مقادیر زوایای خاموشی و روشنی و درصد فاکتور

ریپل گشتاور در سرعت‌های مختلف برای حالت کنترل

موتور با تابع اشتراکی گشتاور خطی متداول

| | θ_{on} (Degree) | θ_{off} (Degree) | ω (RPM) |
|------|------------------------|-------------------------|----------------|
| 8.1 | 34 | 56 | 300 |
| 15.8 | 34 | 56 | 500 |
| 23 | 34 | 56 | 700 |
| 29.4 | 34 | 56 | 900 |
| -- | 34 | 56 | 1100 |
| -- | 34 | 56 | 1300 |

لازم به ذکر است که در حالت کنترل موتور SR با تابع

اشتراکی گشتاور خطی متداول سرعت موتور تنها تا ۹۰۰

ارائه یک تابع اشتراکی گشتوار نوین بر پایه ی توابع خطی بهینه به منظور کاهش ریپل گشتوار در موتور سوئیچ روکتانس توسط الگوریتم PSO

DrivesPowerElectronics,Ho, S.L. IEEE Transactions on (Volume:24 , Issue: 9), Sept. 2009

[3] Y. K. Choi, H.S. Yoon, C. S. Koh, "Pole-shaped optimization of a switched reluctance motor for torque ripple reduction", IEEE Trans. Magn., vol. 43, no. 4, pp. 1797-1800, Apr.2007.

[4] S. I. Nebeta, I. E. Chabu, L. Lebensztajn, D. A. P. Correa, W. M. Dasilva, K. Hameyer, "Mitigation of the torque ripple of a switched reluctance motor through multiobjective optimization", IEEE Trans. Magn., vol. 44, no. 6, pp. 1018-1021, Jun. 2008.

[5] R. S. Wallace, D.G. Taylor, "A balanced commutator for switched reluctance motors to reduce torque ripple", IEEE Trans. Power Electron., vol. 7, no. 4, pp. 617-626, Oct. 1992.

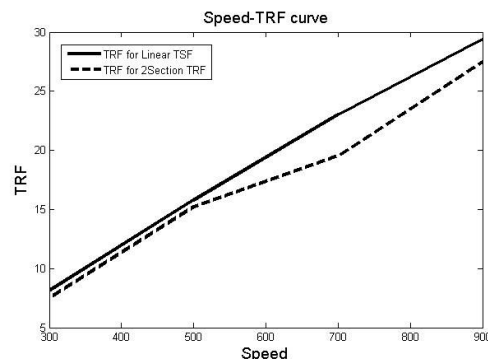
[6] D. S. Schramm, B.W.Williams, and T. C. Green, "Torque ripple reduction of switched reluctance motors by PWM phase current optimal profiling," in *Conf. Rec. IEEE PESC 1992*, vol. 2, pp. 857-860

[7] M.Dowlatshahi, S.M.Saghaiannejad, J.W.Ahn, M.Moallem, "Copper Loss and Torque-Ripple Minimization of Switched Reluctance Motors Considering Nonlinear and Magnetic Saturation Effects", JPE,Vol.14, No.2, pp.351-361, March. 2014.

[8] An Offline Torque Sharing Function for Torque Ripple Reduction in Switched Reluctance Motor Drives, Energy Conversion, IEEE Transactions on (Volume:30 , Issue: 2), Jin Ye ; McMaster Inst. for Automotive Res. & Technol., McMaster Univ., Hamilton, ON, Canada ; Bilgin, B. ; Emadi, A. 15 May 2015

[9] Ahn, J., W., "Torque control method for high-speed switched reluctance motor", Us Patent, Pub. No. US20120104986, 14, May, 2013.

[10] Y.Z.Xu, R.Zhong, S.L.Lu.L.Chen, "Analytical method to optimise turn-on angle and turn-off angle for switched reluctance motor drives", IET Electr. Power Appl., Vol.6, pp.593–603, 2012



شکل ۸- منحنی مقایسه فاکتور ریپل گشتوار به ازای کنترل موتور با تابع اشتراکی گشتوار خطی متداول و تابع اشتراکی گشتوار دوشیب

۶-نتیجه گیری :

از آنجایی که شب اندوکتانس در حدود زاویه ی غیر هم محوری کوچک است امکان گشتوار سازی در این ناحیه نیز کم است. لذا می توان با کوچک در نظر گرفتن شب تولید گشتوار در حدود زاویه ی غیر هم محوری گشتوار کمتری در این ناحیه تولید کرد و پی از آن با ورورد روتور به زاویه هم محوری شب تولید گشتوار را افزایش داد. با این روش انطباق پذیری گشتوار مرجع فاز و گشتوار واقعی فاز افزایش یافته که نتیجه آن کاهش ریپل گشتوار در خروجی موتور خواهد شد. از آنجایی که شب هر قسمت از تابع اشتراکی گشتوار پیشنهادی نقش تعیین کننده ای در کاهش یا افزایش ریپل گشتوار موتور دارد می توان بهینه ترین شب برای تابع مذکور را توسط الگوریتم PSO تعیین نمود.

۷-مراجع

[1] Dowlatshahi, M. ; Electr. & Comput. Eng. Dept., Isfahan Univ. of Technol.(IUT), Isfahan, Iran ; Nejad, S.M.S. ; Jin-Who Ahn, Torque Ripple Minimization of Switched Reluctance Motor Using Modified Torque Sharing Function, Electrical Engineering (ICEE), 2013 21st Iranian Conference on, 14-16 May 2013

[2] Xue, X.D. ; Dept. of Electr. Eng., Hong Kong Polytech. Univ., Kowloon, China ; Cheng, K.W.E. ; Optimization and Evaluation of Torque-Sharing Functions for Torque Ripple Minimization in Switched Reluctance Motor

ارائه یک تابع اشتراکی گشتوار نوین بر پایه‌ی توابع خطی بهینه به منظور کاهش ریپل گشتوار در موتور سوئیچ رلوکتانس توسط الگوریتم PSO

ارائه یک تابع اشتراکی گشتوار نوین بر پایه‌ی توابع خطی بهینه به منظور کاهش ریپل گشتوار در موتور سوئیچ رلوکتانس توسط الگوریتم PSO
